

УДК 539.37

РАДИАЛЬНОЕ РАСШИРЕНИЕ СЫПУЧЕЙ СРЕДЫ В СФЕРИЧЕСКОМ И ЦИЛИНДРИЧЕСКОМ СЛОЯХ

В. М. Садовский

Институт вычислительного моделирования СО РАН, 660036 Красноярск
E-mail: sadov@icm.krasn.ru

В рамках теории малых деформаций идеально сыпучей среды с жесткими частицами строится точное решение, описывающее поля перемещений и напряжений в расширяющемся сферическом слое. При конечных деформациях задача сводится к нелинейной системе обыкновенных дифференциальных уравнений, решение которой получено с помощью численных методов. Аналогичные решения найдены в задаче для цилиндрического слоя. На основе этих решений анализируется влияние дилатансии сыпучей среды на напряженно-деформированное состояние вблизи расширяющихся полостей.

Ключевые слова: сыпучая среда, упругость, дилатансия, логарифмический тензор деформации Генки, вариационное неравенство.

Введение. Простейшее точное решение, описывающее сферически-симметричное состояние несжимаемой упругой среды вокруг расширяющейся полости, строится по аналогии с решением задачи о точечном источнике в гидродинамике вязкой жидкости [1]. Это решение не зависит от радиуса полости и имеет следующий вид:

$$u = \frac{Q}{4\pi r^2}, \quad \sigma_r = -p - \frac{\mu Q}{\pi r^3}, \quad \sigma_\varphi = \sigma_\psi = -p + \frac{\mu Q}{2\pi r^3}.$$

Здесь u — радиальное перемещение точки; $\sigma_r, \sigma_\varphi, \sigma_\psi$ — компоненты тензора напряжений в сферической системе координат; p — давление на бесконечности; Q — изменение объема полости (расход); μ — модуль сдвига. Такое же распределение перемещений и напряжений реализуется в расширяющемся упругом слое, на внешней границе которого действует заданное давление.

Решение задачи с цилиндрической симметрией имеет вид

$$u = \frac{Q}{2\pi r}, \quad \sigma_r = -p - \frac{\mu Q}{2\pi r^2}, \quad \sigma_\varphi = -p + \frac{\mu Q}{2\pi r^2}, \quad \sigma_z = -p.$$

При деформации сыпучей среды, в отличие от упругой, происходит дилатансионное увеличение объема за счет сдвигов и процесс деформирования существенно усложняется, особенно если изменение объема полости оказывается достаточно большим. В этом случае дилатансия имеет место только до момента достижения состояния предельного разрыхления материала, в котором он становится несжимаемым. Исследуем возникающее напряженно-деформированное состояние как при малых, так и при конечных деформациях среды.

1. Расширение сферического слоя. Предположим, что внутренняя поверхность сферического слоя $r_0 < r < r_1$ плотноупакованной сыпучей среды с жесткими частицами

Работа выполнена при финансовой поддержке Российского фонда фундаментальных исследований (код проекта 08-01-00148) и в рамках Комплексной программы фундаментальных исследований Президиума РАН № 14 “Фундаментальные проблемы информатики и информационных технологий”.

расширяется и ее радиальное перемещение равно u_0 , а на внешней поверхности действует сжимающее напряжение, равное $-q$. Для такой среды дилатансионное уравнение [2] имеет вид

$$\varkappa\gamma(\varepsilon) = \vartheta(\varepsilon), \quad (1.1)$$

где $\varkappa \geq 0$ — параметр внутреннего трения; $\gamma(\varepsilon)$ — интенсивность сдвига; $\vartheta(\varepsilon)$ — объемная деформация:

$$\gamma(\varepsilon) = \sqrt{\frac{2}{3} \sum_{i>j} (\varepsilon_i - \varepsilon_j)^2}, \quad \vartheta(\varepsilon) = \varepsilon_1 + \varepsilon_2 + \varepsilon_3;$$

ε_i — главные значения тензора малых деформаций ε .

В сферически-симметричном случае главные значения равны $\varepsilon_r = u'$ и $\varepsilon_\varphi = \varepsilon_\psi = u/r$ (штрих означает производную по r). Учитывая, что при расширении слоя $\varepsilon_\varphi > \varepsilon_r$, получаем

$$\frac{2\varkappa}{\sqrt{3}} \left(\frac{u}{r} - u' \right) = u' + 2 \frac{u}{r}.$$

Решение этого уравнения, удовлетворяющее граничному условию при $r = r_0$, имеет вид

$$u = u_0 \left(\frac{r_0}{r} \right)^\alpha, \quad \alpha = 2 \frac{\sqrt{3} - \varkappa}{\sqrt{3} + 2\varkappa}.$$

При $\varkappa = 0$ решение совпадает с приведенным выше решением для несжимаемой среды, если u_0 выразить через Q . При $\varkappa < \sqrt{3}$ с увеличением r перемещение уменьшается, стремясь к нулю в бесконечном слое. При $\varkappa > \sqrt{3}$ перемещение увеличивается, в то время как деформации

$$\varepsilon_r = -\alpha\varepsilon_\varphi, \quad \varepsilon_\varphi = \varepsilon_\psi = \frac{u_0}{r_0} \left(\frac{r_0}{r} \right)^{\alpha+1}$$

уменьшаются независимо от \varkappa и остаются малыми при достаточно малых значениях u_0 . Условие $\varepsilon_r + 2\varepsilon_\varphi > 0$, при нарушении которого уравнение (1.1) не имеет смысла, всегда выполняется.

Заметим, что при сжатии слоя ($u_0 < 0$), когда $\varepsilon_r > 0$ и $\varepsilon_\varphi < 0$, из (1.1) следует другое дифференциальное уравнение

$$\frac{2\varkappa}{\sqrt{3}} \left(u' - \frac{u}{r} \right) = u' + 2 \frac{u}{r},$$

решение которого

$$u = u_0 \left(\frac{r_0}{r} \right)^\beta, \quad \beta = 2 \frac{\sqrt{3} + \varkappa}{\sqrt{3} - 2\varkappa}$$

имеет смысл, только если $\varkappa < \sqrt{3}/2$, поскольку при бóльших значениях \varkappa деформация объема $\vartheta(\varepsilon) = \varepsilon_r + 2\varepsilon_\varphi$ становится отрицательной. В этом случае решения (1.1) не существует: наблюдается эффект заклинивания частиц — среда не деформируется, оставаясь в жестком состоянии.

Для того чтобы найти напряжения, определяющие соотношения для идеально сыпучей среды запишем в виде вариационного неравенства [2]

$$\sum_{i=1}^3 \sigma_i (\tilde{\varepsilon}_i - \varepsilon_i) \leq 0,$$

где $\tilde{\varepsilon}_i$ — компоненты произвольного тензора $\tilde{\varepsilon}$, удовлетворяющего ограничению $\varkappa\gamma(\tilde{\varepsilon}) \leq \vartheta(\tilde{\varepsilon})$. С использованием теоремы Куна — Таккера это неравенство приводится к уравнениям

$$\frac{\sigma_i}{p} = \frac{4\varkappa}{3\gamma(\varepsilon)} \left(\varepsilon_i - \frac{\varepsilon_j + \varepsilon_k}{2} \right) - 1, \quad (1.2)$$

где $p > 0$ — множитель Лагранжа, равный гидростатическому давлению; $i \neq j \neq k$. В случае сферической симметрии уравнения (1.2) с учетом (1.1) преобразуются к виду

$$\sigma_r = -(2\varkappa/\sqrt{3} + 1)p, \quad \sigma_\varphi = \sigma_\psi = (\varkappa/\sqrt{3} - 1)p.$$

Из уравнения равновесия

$$\sigma_r' + 2(\sigma_r - \sigma_\varphi)/r = 0 \quad (1.3)$$

с помощью граничного условия $\sigma_r = -q$ на внешней поверхности находим

$$p = \frac{\sqrt{3}q}{\sqrt{3} + 2\varkappa} \left(\frac{r_1}{r} \right)^{2-\alpha}.$$

Напряжение на внутренней поверхности слоя определяется через гидростатическое давление, вычисленное по данной формуле при $r = r_0$.

Так как показатель степени $2 - \alpha = 6\varkappa/(\sqrt{3} + 2\varkappa)$ строго положителен, для бесконечного слоя ($r_1 \rightarrow \infty$) полученное решение не имеет смысла, если напряжение q отлично от нуля. В данном случае расширение сферической полости невозможно, поскольку для этого необходимо, чтобы со стороны полости на среду действовало бесконечное напряжение.

При конечных деформациях, когда перемещение u_0 не является малым, деформированное состояние сыпучей среды описывается логарифмическим тензором Генки [3] с отличными от нуля компонентами $h_r = \ln R'$ и $h_\varphi = h_\psi = \ln(R/r)$, где $R = r + u$ — эйлерова координата частицы. Дилатансионное уравнение, получаемое из (1.1) путем замены тензора малых деформаций логарифмическим тензором, приводится к виду

$$R' = (r/R)^\alpha. \quad (1.4)$$

Здесь, в отличие от случая малых деформаций, параметр α , вычисляемый по приведенной выше формуле, зависит от плотности

$$\rho = \rho_0 \exp(-\vartheta(h)), \quad \vartheta(h) = h_r + 2h_\varphi = \ln(R^2 R'/r^2).$$

Для среды, дилатансионное расширение которой не очень велико, такая зависимость приближенно описывается выражением

$$\varkappa(\rho) = \begin{cases} \varkappa_0 \left(\frac{1 - \rho_*/\rho}{1 - \rho_*/\rho_0} \right)^n, & \rho \geq \rho_*, \\ 0, & \rho < \rho_*, \end{cases}$$

где ρ_0, ρ_* — плотности в начальном состоянии и в состоянии предельной дилатансии. Таким образом, уравнение (1.4) является дифференциальным уравнением, не разрешенным относительно производной. Однако непосредственные вычисления показывают, что

$$\frac{d\alpha}{d\varkappa} < 0, \quad \frac{d\varkappa}{d\rho} \geq 0, \quad \frac{d\rho}{dR'} < 0,$$

поэтому при $R \geq r$ выполняется условие

$$1 - \frac{d}{dR'} \left(\frac{r}{R} \right)^\alpha = 1 + \left(\frac{r}{R} \right)^\alpha \ln \left(\frac{r}{R} \right) \frac{d\alpha}{d\varkappa} \frac{d\varkappa}{d\rho} \frac{d\rho}{dR'} \geq 1,$$

которое на основании теоремы о неявной функции обеспечивает разрешимость задачи.

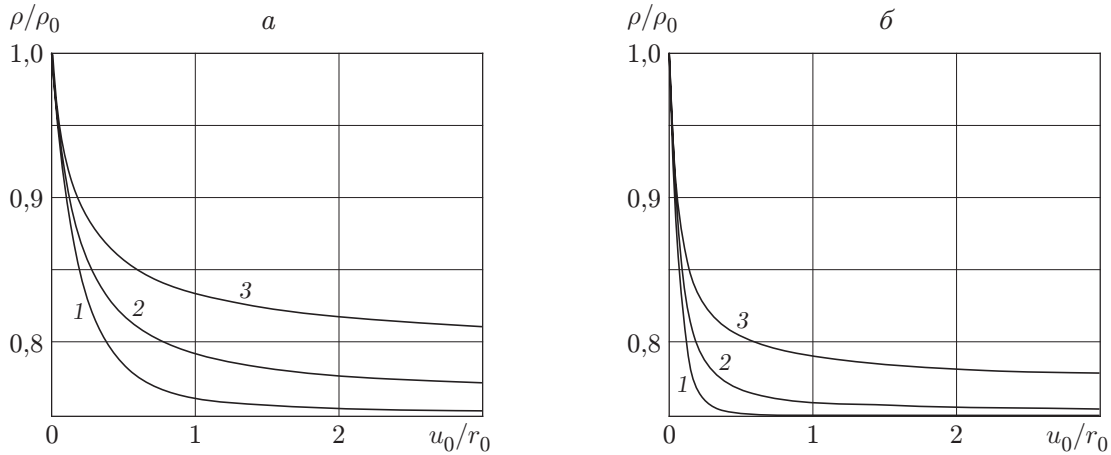


Рис. 1. Зависимость плотности среды вблизи внутренней поверхности от радиального перемещения ($\rho_* = 0,75\rho_0$):

a — $\varkappa_0 = 0,5$; b — $\varkappa_0 = 2,5$; 1 — $n = 0,5$; 2 — $n = 1$; 3 — $n = 2$

В силу уравнения (1.4)

$$\frac{\rho}{\rho_0} = \frac{r^2}{R^2 R'} = \left(\frac{r}{R}\right)^{2-\alpha}.$$

Отсюда, полагая $r = r_0$, можно выразить радиальное перемещение внутренней поверхности слоя в зависимости от плотности среды вблизи этой поверхности:

$$\frac{u_0}{r_0} = \left(\frac{\rho_0}{\rho}\right)^{1/(2-\alpha)} - 1.$$

Обратная зависимость позволяет определить плотность по заданному перемещению. Характерные графики обратной зависимости, полученные с помощью численных расчетов, представлены на рис. 1. На рис. 1, a коэффициент внутреннего трения в состоянии плотной упаковки \varkappa_0 считается равным 0,5, а на рис. 1, b $\varkappa_0 = 2,5$. При $\varkappa_0 = \sqrt{3}$ ($0,5 < \varkappa_0 < 2,5$) параметр $\alpha(\rho_0)$ меняет знак. Как установлено в случае малых деформаций, это приводит к качественному изменению поля перемещений.

На рис. 2 приведены результаты численного решения уравнения (1.4) методом Эйлера с пересчетом второго порядка точности после разрешения его относительно производной методом Ньютона — Рафсона. Корректировка Рафсона оказалась необходимой при $n \leq 1$, когда обычный метод Ньютона не сходится из-за разрыва производной $d\varkappa/d\rho$. Анализ результатов показал, что дилатансия среды происходит преимущественно вблизи внутренней поверхности слоя и предельная плотность материала ρ_* достигается только при $u_0 \rightarrow \infty$.

Напряжения в слое можно определить через деформации по формулам (1.2) после замены тензора ε тензором h :

$$\sigma_r = Ap, \quad \sigma_\varphi = \sigma_\psi = Bp,$$

$$A = \frac{4\varkappa^2}{3} f - 1, \quad B = -\frac{2\varkappa^2}{3} f - 1, \quad f = \frac{h_r - h_\varphi}{h_r + 2h_\varphi} = \frac{\ln(rR'/R)}{\ln(R^2R'/r^2)}.$$

В этих формулах гидростатическое давление представляет собой решение дифференциального уравнения равновесия (1.3) в эйлеровых переменных

$$\frac{d(Ap)}{dR} + \frac{2(A-B)p}{R} = 0,$$

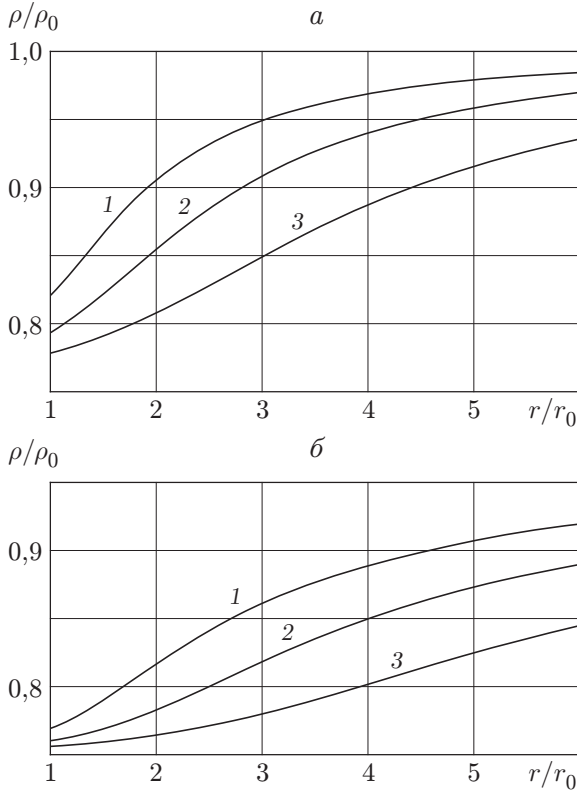


Рис. 2

Рис. 2. Распределение плотности в сферическом слое ($n = 1, \rho_* = 0,75\rho_0$):
 а — $\kappa_0 = 0,5$; б — $\kappa_0 = 2,5$; 1 — $u_0/r_0 = 0,5$; 2 — $u_0/r_0 = 1$; 3 — $u_0/r_0 = 2$

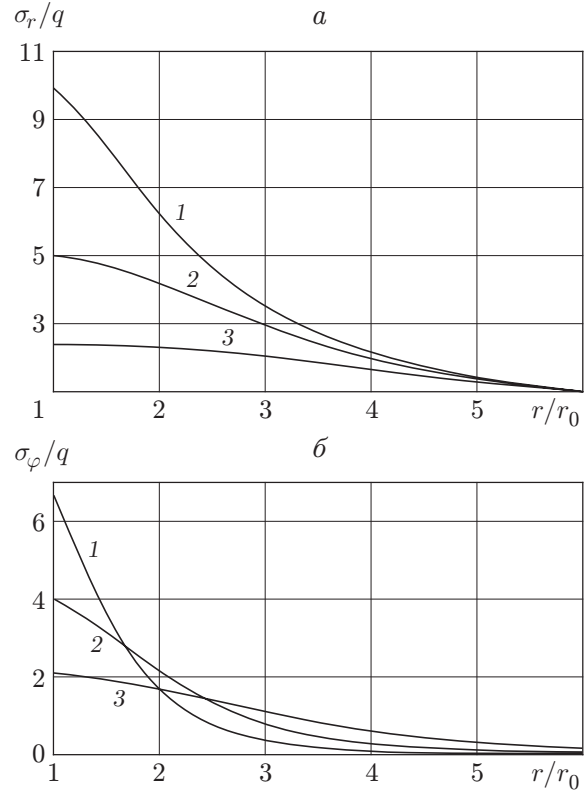


Рис. 3

Рис. 3. Распределение напряжений σ_r (а) и σ_φ (б) в сферическом слое ($\kappa_0 = 2,5$):
 1 — $u_0/r_0 = 0,5$; 2 — $u_0/r_0 = 1$; 3 — $u_0/r_0 = 2$

для численного решения которого с учетом граничного условия на внешней поверхности слоя применялась разностная схема Кранка — Николсона [4]:

$$\frac{A_j p_j - A_{j-1} p_{j-1}}{R_j - R_{j-1}} + 2 \frac{(A_j - B_j) p_j + (A_{j-1} - B_{j-1}) p_{j-1}}{R_j + R_{j-1}} = 0.$$

Схема позволяет по явным формулам вычислить значения гидростатического давления в узлах с последующим пересчетом напряжений. Полученные таким образом распределения σ_r и σ_φ внутри слоя для $\kappa_0 = 2,5$ представлены на рис. 3. При $\kappa_0 = 0,5$ соответствующие кривые являются более плавными: на кривой 1 значения напряжений σ_r и σ_φ на внутренней поверхности слоя приблизительно в три раза больше по модулю, чем на внешней поверхности.

Тестирование описанных вычислительных алгоритмов проводилось путем сравнения результатов расчетов с точными решениями для малых деформаций среды.

2. Расширение цилиндрического слоя. В цилиндрическом слое главные значения тензора малых деформаций равны $\varepsilon_r = u'$, $\varepsilon_\varphi = u/r$, $\varepsilon_z = 0$, поэтому уравнение (1.1) сводится к нелинейному дифференциальному уравнению

$$\frac{2\kappa}{\sqrt{3}} \sqrt{(u')^2 - \frac{u'u}{r} + \frac{u^2}{r^2}} = u' + \frac{u}{r}, \tag{2.1}$$

общее решение которого $u = C/r^\alpha$ с константой $C > 0$ и

$$\alpha = \frac{1 + 2\kappa^2/3 - 2\kappa\sqrt{1 - \kappa^2/3}}{1 - 4\kappa^2/3}$$

имеет смысл, только если $\kappa \leq \sqrt{3}$. При $\kappa > \sqrt{3}$ плоская деформация сыпучей среды, в отличие от осевого расширения, невозможна, так как происходит заклинивание частиц [2]. Значение α удовлетворяет условию $\alpha \leq 1$, что гарантирует неотрицательность правой части уравнения (2.1). Константа $C = u_0 r_0^\alpha$ определяется в силу граничного условия на внутренней поверхности.

В соответствии с формулами (1.2) напряжения в слое равны

$$\frac{\sigma_r}{p} = -\frac{2\kappa^2}{3} \frac{1 + 2\alpha}{1 - \alpha} - 1, \quad \frac{\sigma_\varphi}{p} = \frac{2\kappa^2}{3} \frac{2 + \alpha}{1 - \alpha} - 1, \quad \frac{\sigma_z}{p} = -\frac{2\kappa^2}{3} - 1.$$

Интегрируя уравнение равновесия

$$\sigma_r' + (\sigma_r - \sigma_\varphi)/r = 0,$$

с учетом граничного условия при $r = r_1$ находим

$$p = \frac{\beta q}{2\kappa\sqrt{1 - \kappa^2/3}} \left(\frac{r_1}{r}\right)^\beta, \quad \beta = 2\kappa \frac{\sqrt{1 - \kappa^2/3} - \kappa}{1 - 4\kappa^2/3}. \quad (2.2)$$

Показатель степени β монотонно возрастает от нуля до двух при изменении параметра внутреннего трения κ от нуля до $\sqrt{3}$. Поэтому напряжения в слое всегда уменьшаются по модулю вдоль радиуса.

При конечных деформациях среды полученное точное решение задачи не имеет смысла. В этом случае перемещения и напряжения могут быть найдены с помощью численного интегрирования обыкновенных дифференциальных уравнений первого порядка. С учетом цилиндрической симметрии главные значения логарифмического тензора Генки равны $h_r = \ln R'$, $h_\varphi = \ln(R/r)$, $h_z = 0$. Дилатансионное уравнение (1.1) принимает вид

$$\kappa \sqrt{\left(\ln \frac{rR'}{R}\right)^2 + (\ln R')^2 + \left(\ln \frac{R}{r}\right)^2} = \sqrt{\frac{3}{2}} \ln \frac{RR'}{r}.$$

Здесь параметр κ зависит от плотности среды $\rho = \rho_0 r / (RR')$. Для того чтобы разрешить это уравнение относительно производной, можно применить, например, метод Ньютона — Рафсона с последующим интегрированием методом Эйлера.

Дифференциальное уравнение равновесия относительно гидростатического давления записывается в виде

$$\frac{d(Ap)}{dR} + \frac{(A - B)p}{R} = 0,$$

где

$$A = \frac{2\kappa^2}{3} \frac{\ln(r(R')^2/R)}{\ln(RR'/r)} - 1, \quad B = -\frac{2\kappa^2}{3} \frac{\ln(r^2 R'/R^2)}{\ln(RR'/r)} - 1$$

функции, используемые для определения напряжений: $\sigma_r = Ap$ и $\sigma_\varphi = Bp$. Так же как и в случае сферического слоя, это уравнение можно решить численно, используя схему Кранка — Николсона. Для тестирования вычислительного алгоритма использовалось точное решение (2.2) в рамках теории малых деформаций.

Характерное распределение плотности в цилиндрическом слое, полученное в расчетах при $\kappa_0 = 0,5$, $n = 1$, приведено на рис. 4. На рис. 5 представлено распределение напряжений σ_r и σ_φ внутри слоя при тех же значениях параметров задачи, что и на рис. 4.

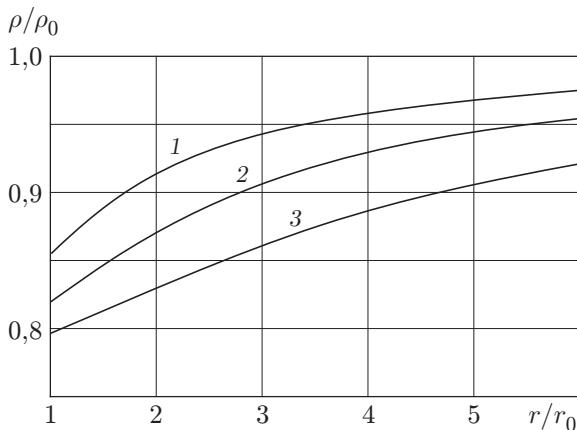


Рис. 4

Рис. 4. Распределение плотности в цилиндрическом слое ($\varkappa_0 = 0,5$, $n = 1$):
 1 — $u_0/r_0 = 0,5$; 2 — $u_0/r_0 = 1$; 3 — $u_0/r_0 = 2$

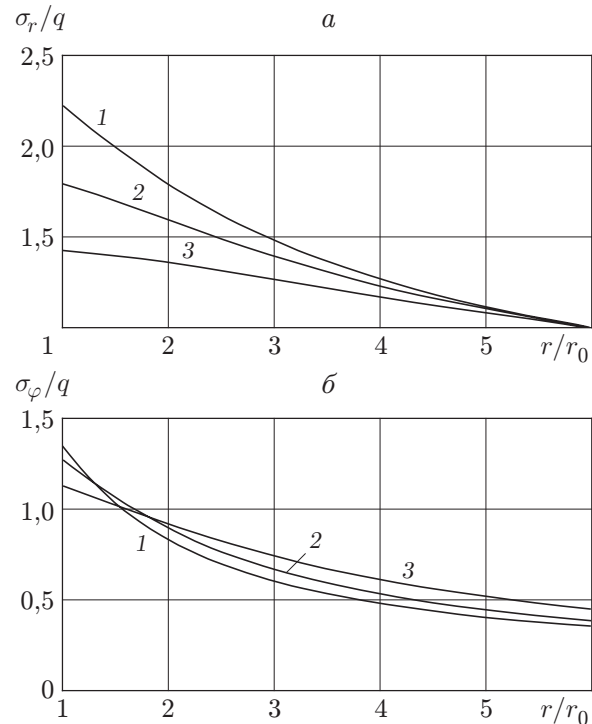


Рис. 5

Рис. 5. Распределение напряжений σ_r (а) и σ_φ (б) в цилиндрическом слое ($\varkappa_0 = 0,5$, $n = 1$):
 1 — $u_0/r_0 = 0,5$; 2 — $u_0/r_0 = 1$; 3 — $u_0/r_0 = 2$

Из анализа приведенных результатов следует, что при изменении радиуса полости на одну и ту же величину в цилиндрическом слое процесс дилатансии среды, сопровождающийся релаксацией касательных напряжений (переходом напряженного состояния среды в гидростатическое), происходит медленнее, чем в сферическом слое. Это обусловлено ограничением степени свободы движения частиц в направлении оси z , вследствие чего интенсивность сдвига в случае цилиндрической симметрии всегда меньше, чем в случае сферически-симметричного движения.

В заключение следует отметить, что полученные точные и приближенные решения могут быть использованы для тестирования алгоритмов численной реализации математических моделей механики сыпучей среды.

ЛИТЕРАТУРА

1. Бэтчелор Дж. Введение в динамику жидкости. М.: Мир, 1973.
2. Садовская О. В. Математическое моделирование в задачах механики сыпучих сред / О. В. Садовская, В. М. Садовский. М.: Физматлит, 2008.
3. Садовская О. В., Садовский В. М. К теории конечных деформаций сыпучей среды // Прикл. математика и механика. 2007. Т. 71, вып. 1. С. 102–121.
4. Марчук Г. И. Методы вычислительной математики. М.: Наука, 1989.

Поступила в редакцию 13/II 2008 г.